

京都大学工学部 学生会員 ○儀久 鼎 京都大学防災研究所 正会員 五十嵐 晃

1. はじめに

入力地震動の多次元性を考慮した構造物の耐震性能照査への適用を目的に、与えられた応答スペクトルに適合する水平2方向地震動の加速度波形を生成する手段として、1方向のスペクトル適合地震動とその「相補直交成分波」を組み合わせて作成する方法²⁾が提案されている。この方法では360°全ての加振方向に関して入力の応答スペクトル強度が一様になる性質（特定の方向性を持たない等方性）を近似的に持つ2方向入力が得られる。しかし、例えば道路橋示方書¹⁾の照査方法のような一方向の入力地震動に比べ構造物に対する作用が結果的にやや大きく現れる傾向があることや、構造物モデルへの地震動作用の近似の観点から見た場合、実際の入力の持つ方向性が完全に無視されている等の課題があった。そこで本研究では、生成される水平2方向入力地震動の橋円偏極指標に着目することで、構造物の耐震性能の検証への適用性の高いスペクトル適合水平2方向入力地震動を作成する方法を提案する。

2. 水平2方向入力地震動の分析

(1) 水平2方向入力のスペクトル適合：その入力の2方向応答スペクトル（bi-axial response spectrum）が、与えられた応答スペクトルに一致することと定義する²⁾。ここで2方向応答スペクトルとは、様々な固有周期Tの等方な2次元線形弾性1質点振動子の水平2方向入力に対する応答軌跡の動径方向最大値（2方向応答の合成値の最大値）と固有周期Tとの関係であり、従来の応答スペクトルの概念を2次元に拡張したものである。

(2) 橋円偏極指標：地震動に伴う3次元的な粒子運動の軌跡を量化的する手法である橋円偏極フィルタ(Complex Polarization Filter)分析³⁾では、粒子運動の軌跡を橋円運動とした時の橋円の扁平度に相当する橋円偏極指標 P_E が定義される（図1参照）。橋円偏極指標 P_E は $0 \leq P_E \leq 1$ の範囲の値を取る時刻 t の関数であり、値が0であれば特定の方向性を有する一方向に近い入力であり、1であれば特定の方向性を持たない円運動に対応する。

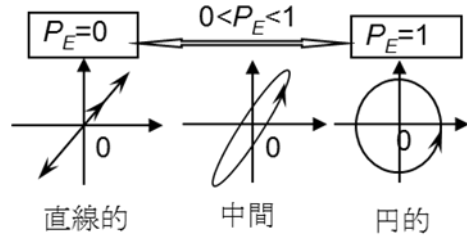


図1 橋円偏極指標と平面軌跡の関係

3. 橋円偏極指標を規定した水平2方向地震動の作成

与えられた応答スペクトルに適合するとともに、橋円偏極指標 P_E の値が予め与えた値 α ($0 \leq \alpha \leq 1$) となるような水平2方向地震動は、以下の手順により作成することができる。

1. 与えられた応答スペクトルに適合する1方向加速度波形 $a_x(t)$ を用意する。例えば、道路橋示方書の設計スペクトルに対しては、振幅調整を行った「標準波」が与えられている。
2. この波形のヒルベルト変換を計算し、「相補直交成分波」 $a_y(t)$ を作成する。
3. $x-y$ 軸平面座標における x 軸からの偏角が θ となる方向を定義し、2次元ベクトル $\{a_x(t), a_y(t)\}$ のその直角方向成分のみ α 倍した2方向ベクトル $\{a_x'(t), a_y'(t)\}$ を算出する。

$$\begin{bmatrix} a_x'(t) \\ a_y'(t) \end{bmatrix} = \begin{bmatrix} \cos \theta & -\sin \theta \\ \sin \theta & \cos \theta \end{bmatrix} \begin{bmatrix} \cos \theta & \sin \theta \\ -\alpha \sin \theta & \alpha \cos \theta \end{bmatrix} \begin{bmatrix} a_x(t) \\ a_y(t) \end{bmatrix}$$

得られた $\{a_x'(t), a_y'(t)\}$ が、求める水平2方向加速度波形である。

α の具体的な値は、実際の地震動の分析に基づいて決定することが考えられる。図2(a)に示す兵庫県南部地震での東神戸大橋記録での例を示す。本記録の橋円偏極指標 $P_E(t)$ と合成加速度 $(a_{EW}^2(t) + a_{NS}^2(t))^{1/2}$ の関係を図2(b)に示す。その重み付き平均は $\alpha=0.2566$ であった。道路橋示方書のレベル2地震動のタイプII・III種地盤用の標準波II-II-3より、提案手法($\theta=50^\circ$ を仮定)により作成した水平2方向入力を作成した結果を図2(c)に示す。橋円偏極指標と合成加速度の関係を同様に整理した結果を図2(b)に重ねて示している。図3に示すように、スペクトルの適合は十分に確保されている。

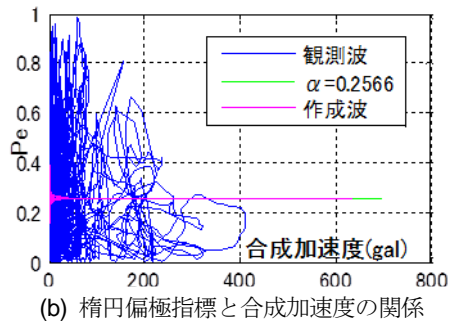
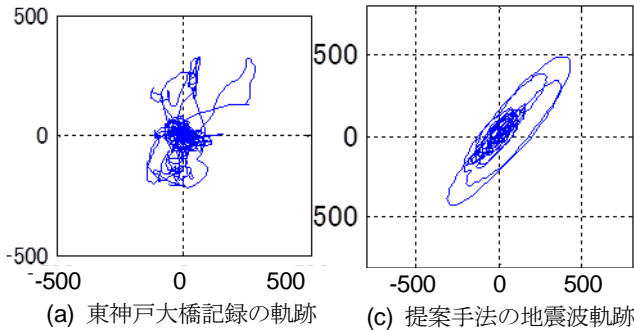


図 2 観測記録波と作成した水平 2 方向地震動

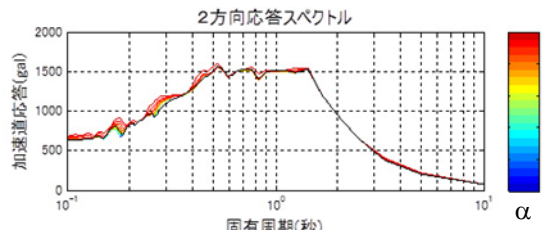


図 3 作成した水平 2 方向地震動の 2 方向応答スペクトル

4. 弹塑性系モデルの応答の検討

提案手法により作成した 2 方向地震波を 1 質点弾塑性系モデルに入力した場合の応答を検討する。弾塑性復元力モデルとして、図 4 に示すバイリニア型の Multi-Shear Spring (MSS) モデルを用いた。モデル特性値を表 1 に示す。短周期、長周期とその中間の周期に相当する 3 種類の弹性固有周期を設定して検討を行った。

ケース I (固有周期=0.4s) での変位応答軌跡を図 5 に、変位-復元力特性を図 6 に示す。参考のため標準波を一方向入力した際の最大変位応答を半径とする円も重ねて示している。 $\alpha=1$ の入力では 1 方向入力や提案手法による入力の場合よりも大きな応答が生じている。

弾塑性最大応答変位と橋円偏極指標 α の関係を図 7 に示す。3 本の実線は、各ケースについて α を 0~1 で変化させて作成した水平 2 方向入力の結果に対応している。提案手法により作成した入力の最大変位応答は赤点に、標準波は緑点に、標準波-相補直交成分波入力は $\alpha=1$ の値に相当する。

これ以外の複数の標準波（5 波）を基にして作成した

表 1 振動系特性値と計算ケース

| | | | |
|--------|---------------------------|--------------------------|-------------------------|
| 質量 | 50(t) | | |
| 降伏力 | 24525(t ⁴ gal) | | |
| 2次剛性比 | 0.05 | | |
| ケース I | II | III | |
| 弹性固有周期 | 0.4s | 1s | 1.8s |
| 1次剛性 | 12337 (t/s ²) | 1974 (t/s ²) | 609 (t/s ²) |
| 降伏変位 | 1.99(cm) | 12.42 (cm) | 40.25 (cm) |

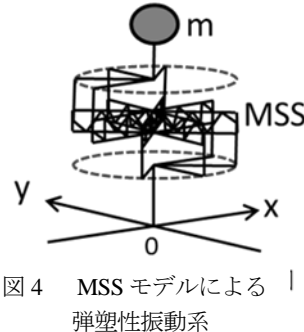


図 4 MSS モデルによる
弾塑性振動系

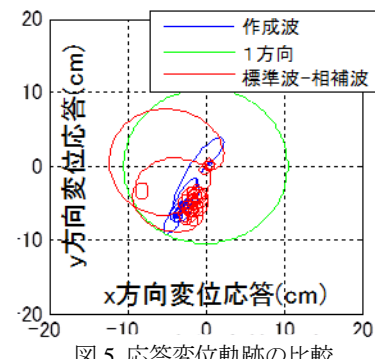


図 5 応答変位軌跡の比較

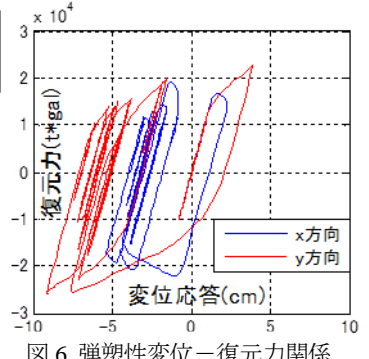


図 6 弹塑性変位-復元力関係

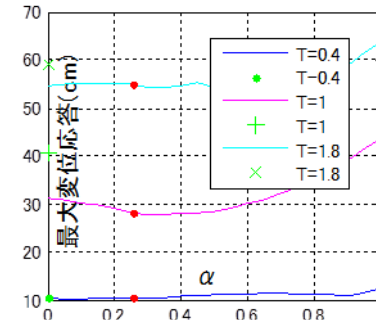


図 7 最大弾塑性応答変位と橋円偏極指標の関係

2 方向入力について同様の比較を行った。提案手法により作成した入力の場合の最大変位応答は標準波-相補波入力時よりも小さくなるが、標準波の 1 方向入力時の最大変位応答の大小関係は、入力波やモデルの弹性固有周期により異なることがわかった。

参考文献

- 日本道路協会 : 道路橋示方書・同解説 V 耐震設計編, 2012.
- 五十嵐・井上・古川・宇野・松田 : 標準波-相補直交成分波の組み合わせによる橋梁の耐震照査用水平 2 方向入力地震動, 土木学会論文集 A1, 68(4), pp.I_458-I_469, 2012.
- Vidale, J.E.: Complex polarization analysis of particle motion, Bull. Seism. Soc. Am. 76(5), pp.1393-1405, 1986.